



Универзитет у Новом Саду
Природно-математички факултет
Департман за географију, туризам и хотелијерство

ДГТХ

Др Млађен Јовановић
Катедра за Физичку географију



ЕРОЗИВНА ГЕОМОРФОЛОГИЈА

В . 17. 11. 2014.

Увод, силе, агенси, фактори, процеси

24 334 B5

DIE ALPEN IM EISZEITALTER

VON

ALBRECHT PENCK
PROFESSOR AN DER UNIVERSITÄT
BERLIN

UND

EDUARD BRÜCKNER
PROFESSOR AN DER UNIVERSITÄT
WIEN

ERSTER BAND

DIE EISZEITEN IN DEN NÖRDLICHEN OSTALPEN

MIT 56 ABBILDUNGEN IM TEXT, 11 TAFELN UND 8 KARTEN

M. KIR. B. NY. MÉRNOKI és
ERDŐMÉRNOKI TISZKOLA
KÖNYVTÁRA
B. 9324 szám.



LEIPZIG 1909
CHR. HERM. TAUCHNITZ

ok

2014/1.
L 8978.



ЕРОЗИЈА

Lat. erosio – разједање, разарање

Укупан процес разарања површинског хоризонта З. коре, покретање (спирање), одношење и таложење тих продуката основних стена – радом различитих ерозивних агенаса.

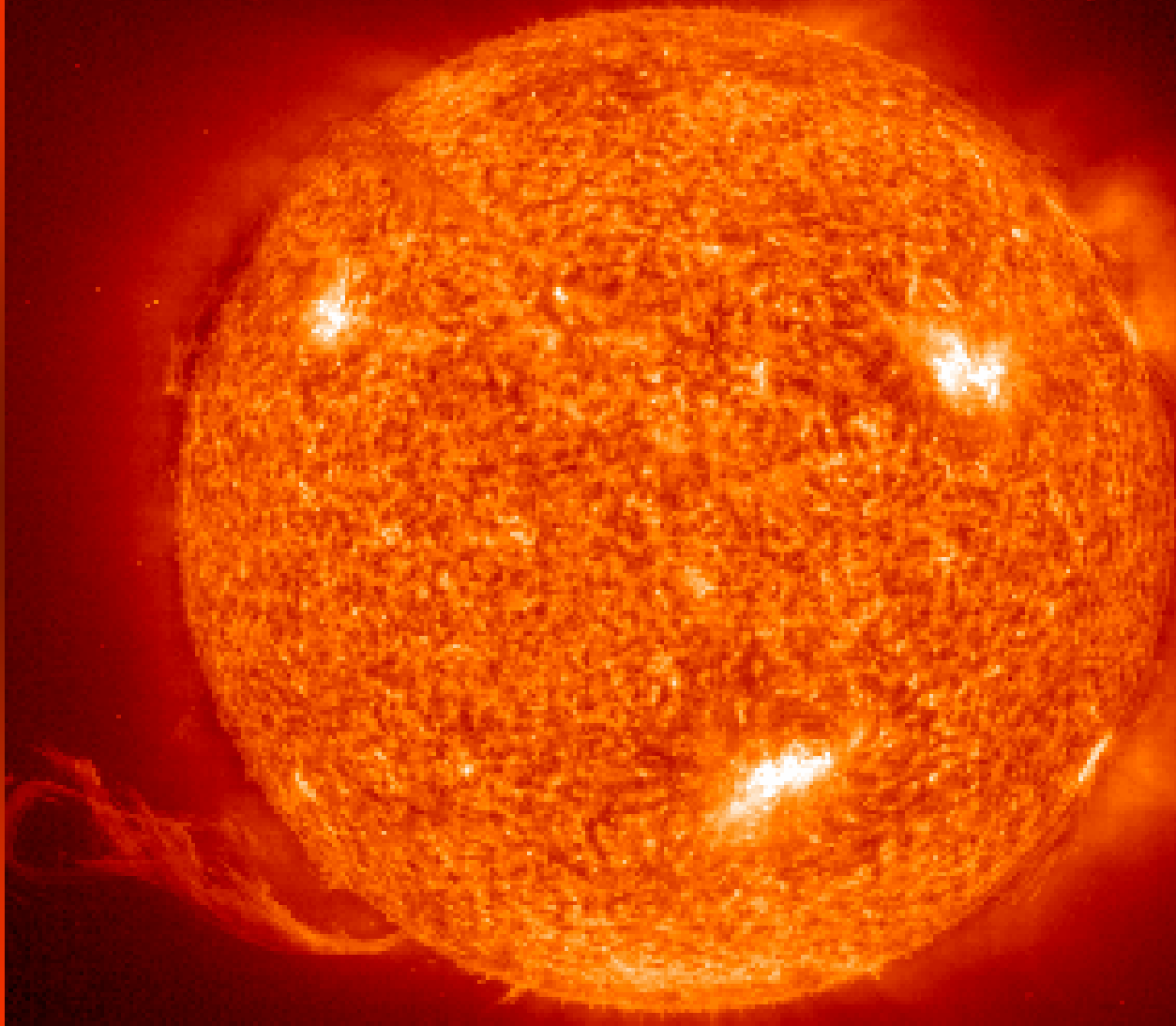
ДЕНУДАЦИЈА

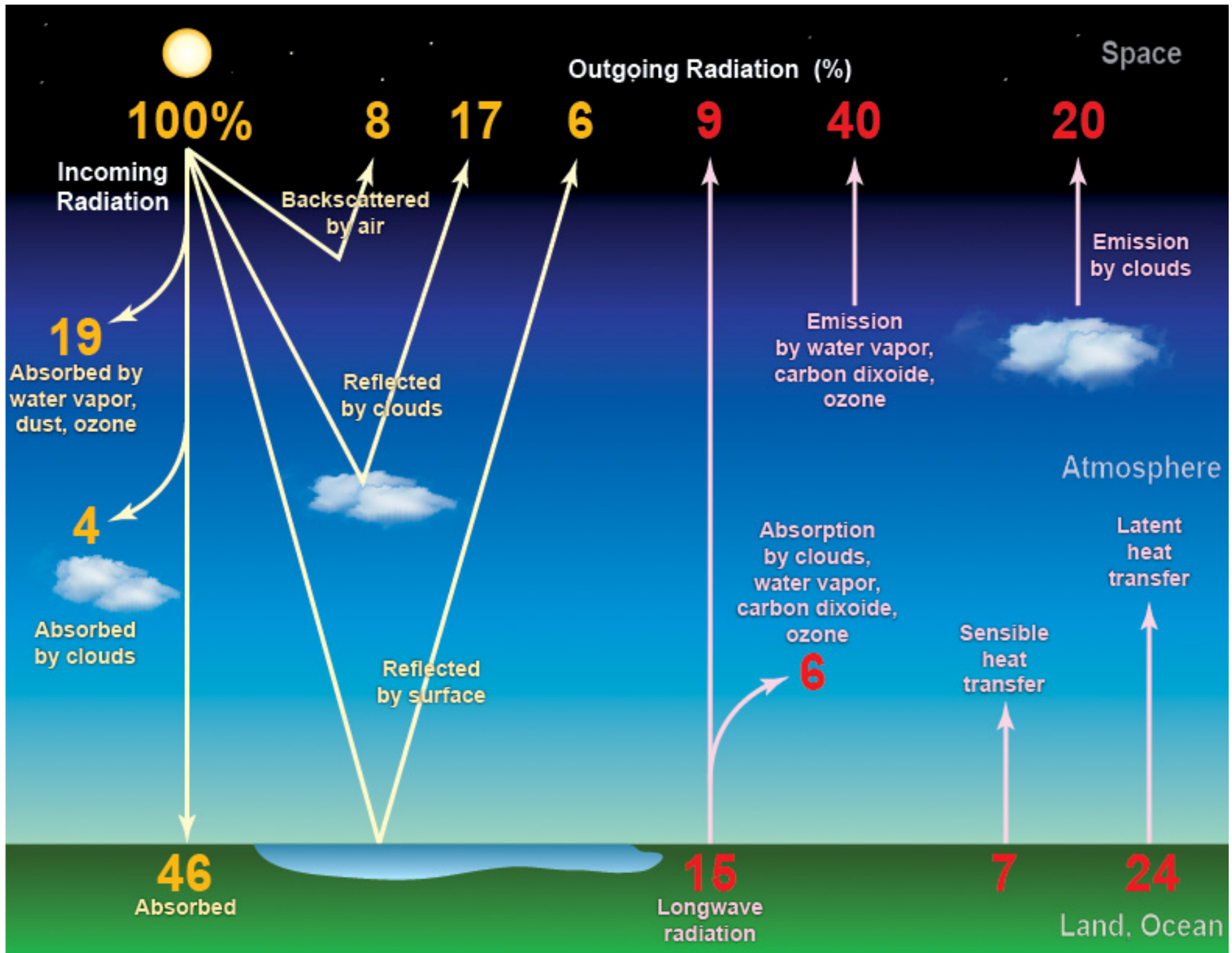
lat. denudatio – откривање, оголићавање – одношење производа распадања стена под утицајем З. теже, спирањем, ветром...

**ЕГЗОГЕНЕ
СИЛЕ?**

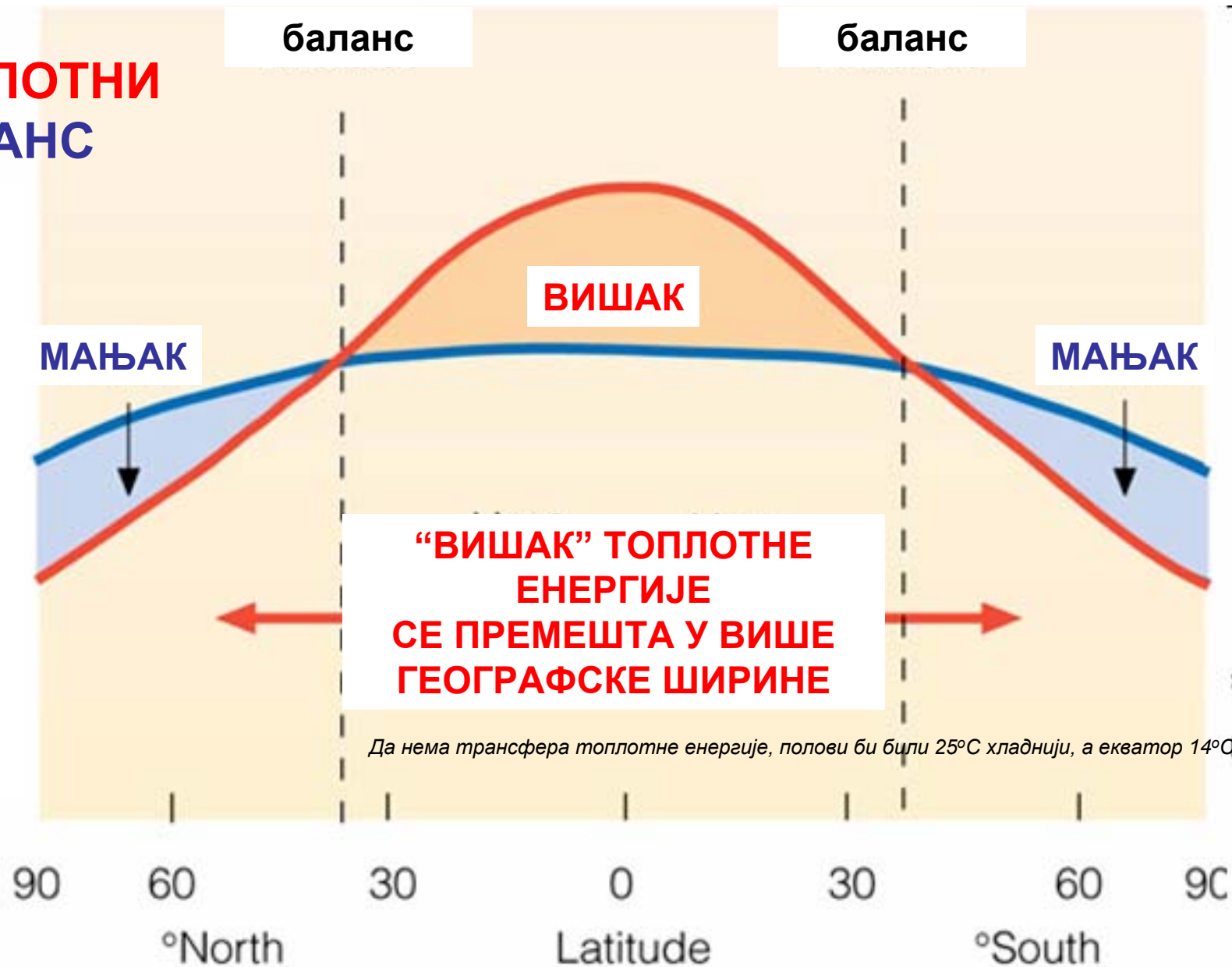


1. СУНЧЕВА РАДИЈАЦИОНА ЕНЕРГИЈА






ТОПЛОТНИ БИЛАНС



— апсорбована сунчева
Радијација, краткоталасно (год. просек)

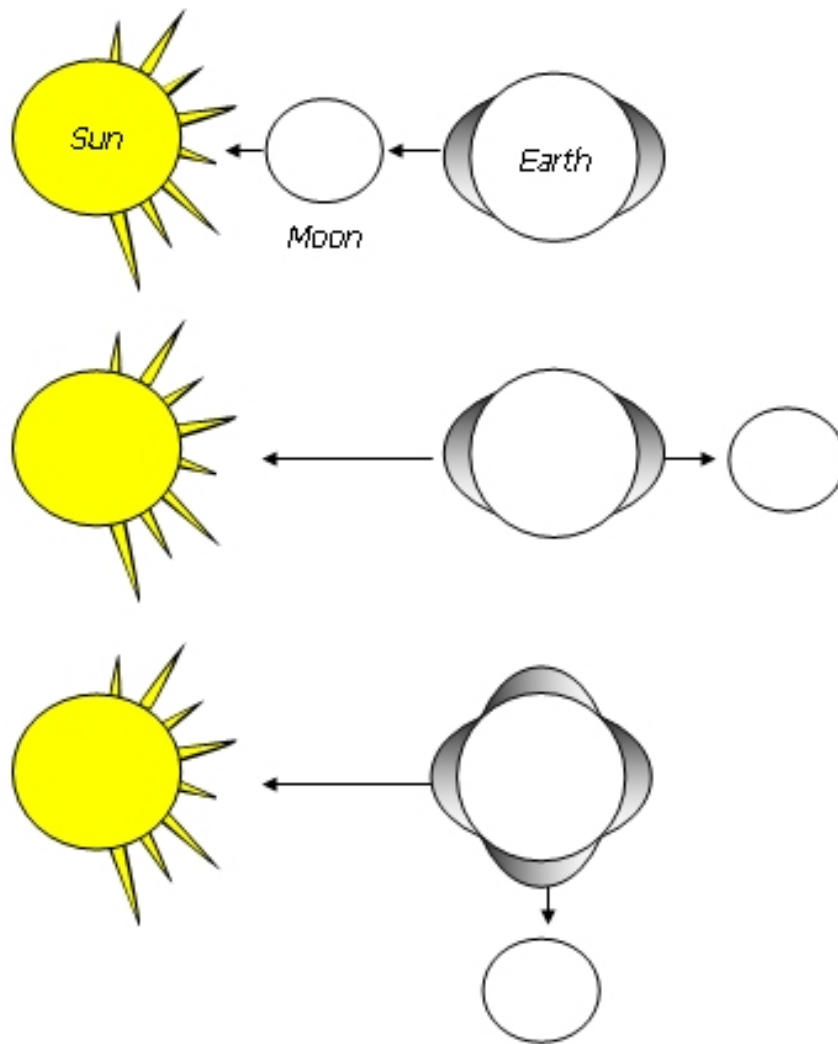
ефективно зрачење (Земљина
радијација), дуготаласно (год. просек)

2. ГРАВИТАЦИОНИ УТИЦАЈ МЕСЕЦА И СУНЦА

A composite image of Earth, the Moon, and the Sun in space. The Earth is shown as a large blue and white sphere on the left, with the Moon as a smaller grey sphere on the right. The Sun is a bright yellow star with lens flare in the bottom left. The background is a dark blue space with small white stars.

ПЛИМА И ОСЕКА

2. ГРАВИТАЦИОНИ УТИЦАЈ МЕСЕЦА И СУНЦА



ПЛИМА И ОСЕКА

3. ЗЕМЉИНА ГРАВИТАЦИЈА/ТЕЖА



ЕГЗОГЕНИ АГЕНСИ?

1. ВОДА

2. ВЕТАР

3. ТЕМПЕРАТУРА



1. ВОДА



ХИДРОСФЕРА



1386 милиона km^3

океани и мора 1338 милиона km^3

инландајс, лед, сталан снег 24 милиона km^3

подземна вода 23 милиона km^3

језера 0,176 милиона km^3

атмосфера 0,013 милиона km^3

реке 0,002 милиона km^3

Data SIO, NOAA, U.S. Navy, NGA, GEBCO
Image NASA
Image IBCAO

©2010 Google

30°09'03.37" N 62°58'30.53" W elev -5181 m

Eye alt 9564.08 km

Rhonegletscher

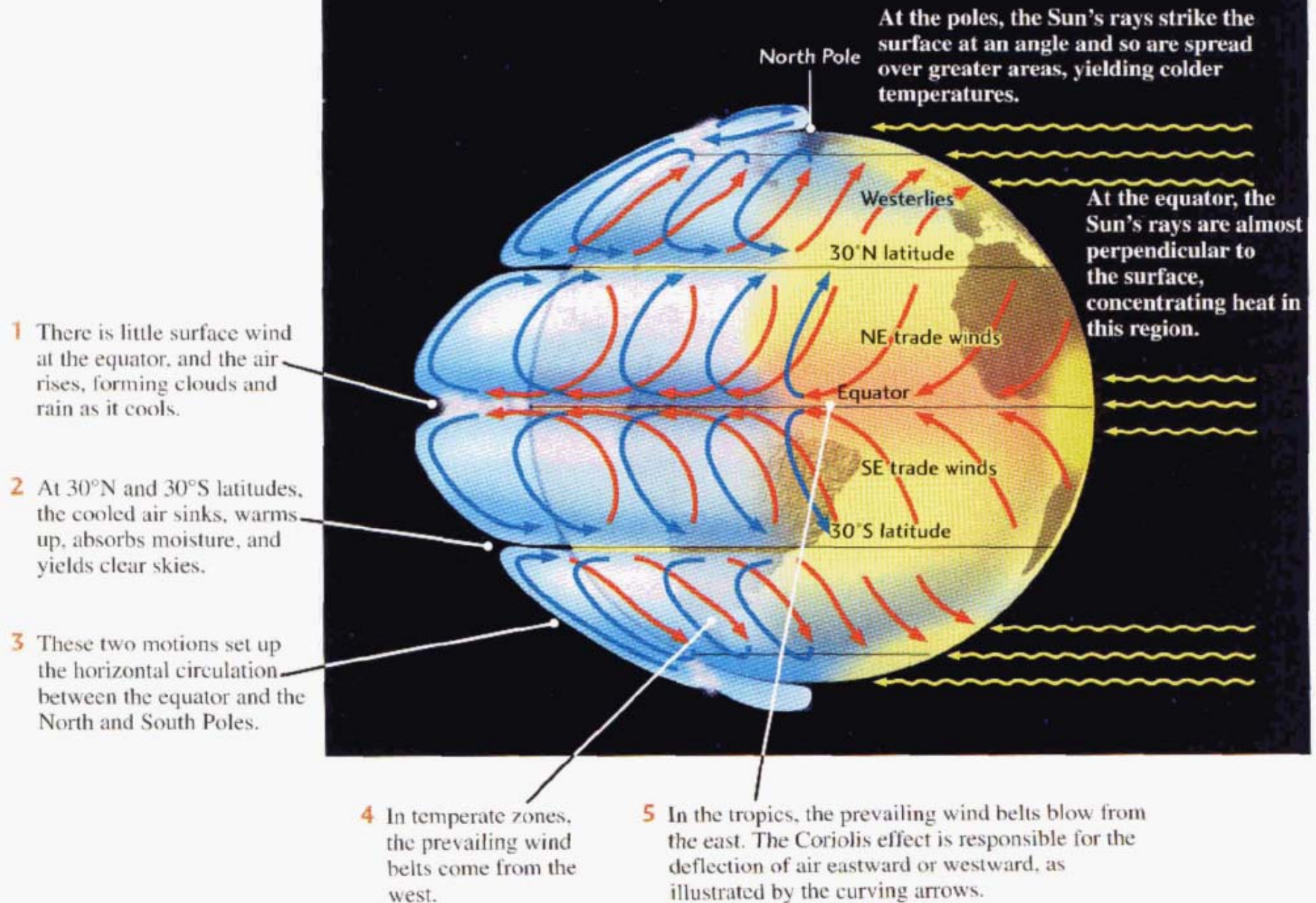
L=8,0 km (1973)

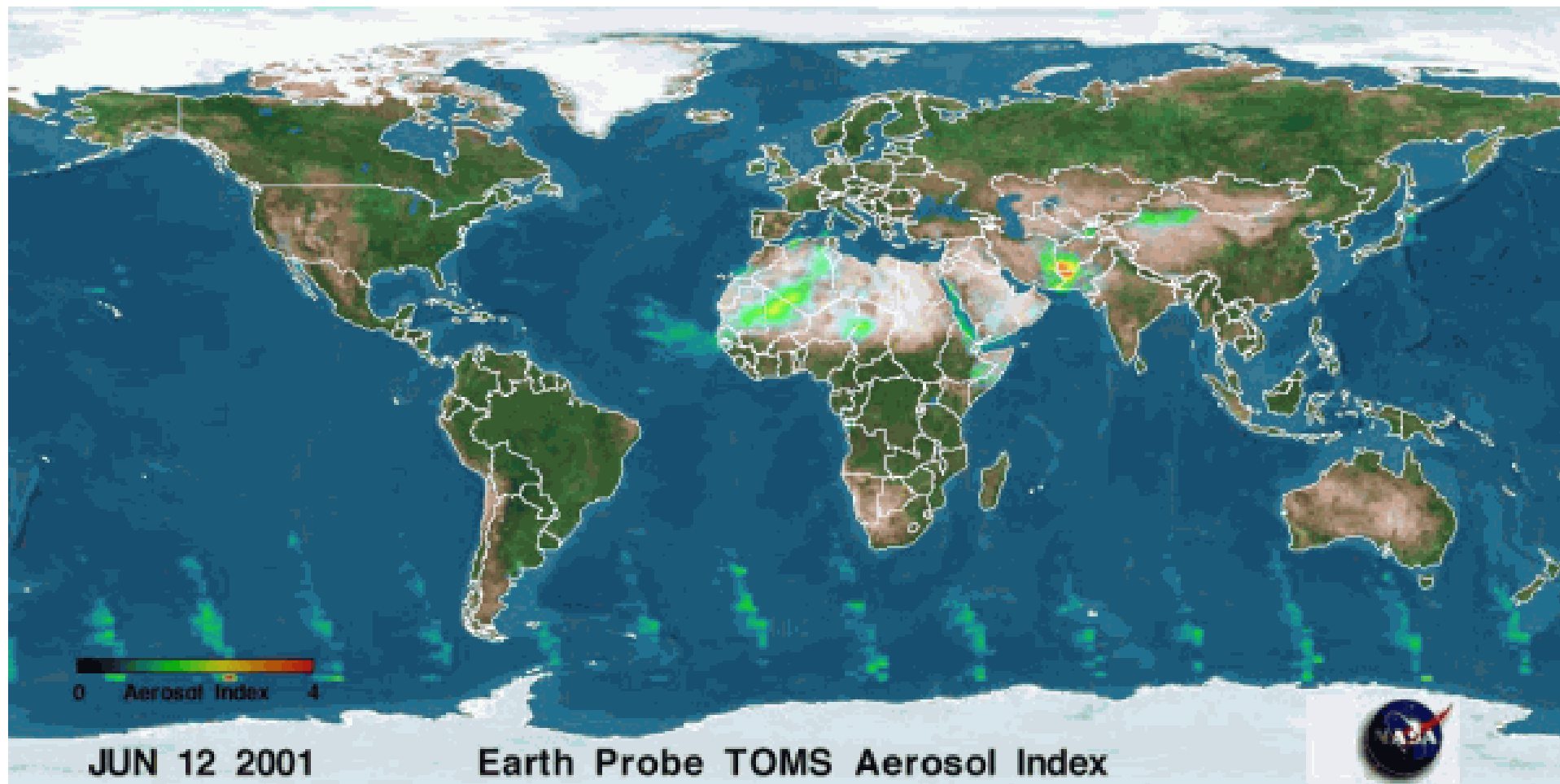
P=17,6 km² (1973)





2. BETAP





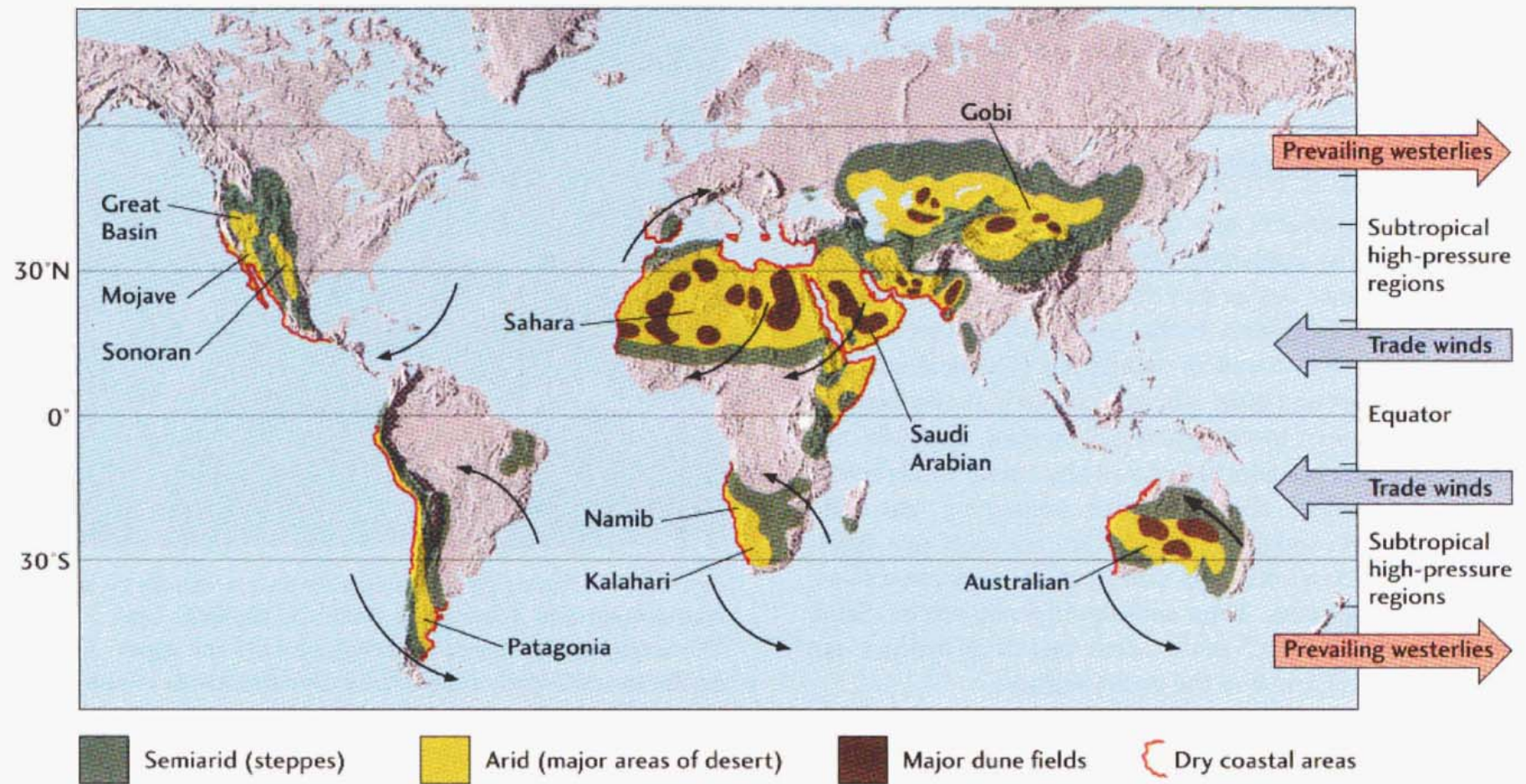
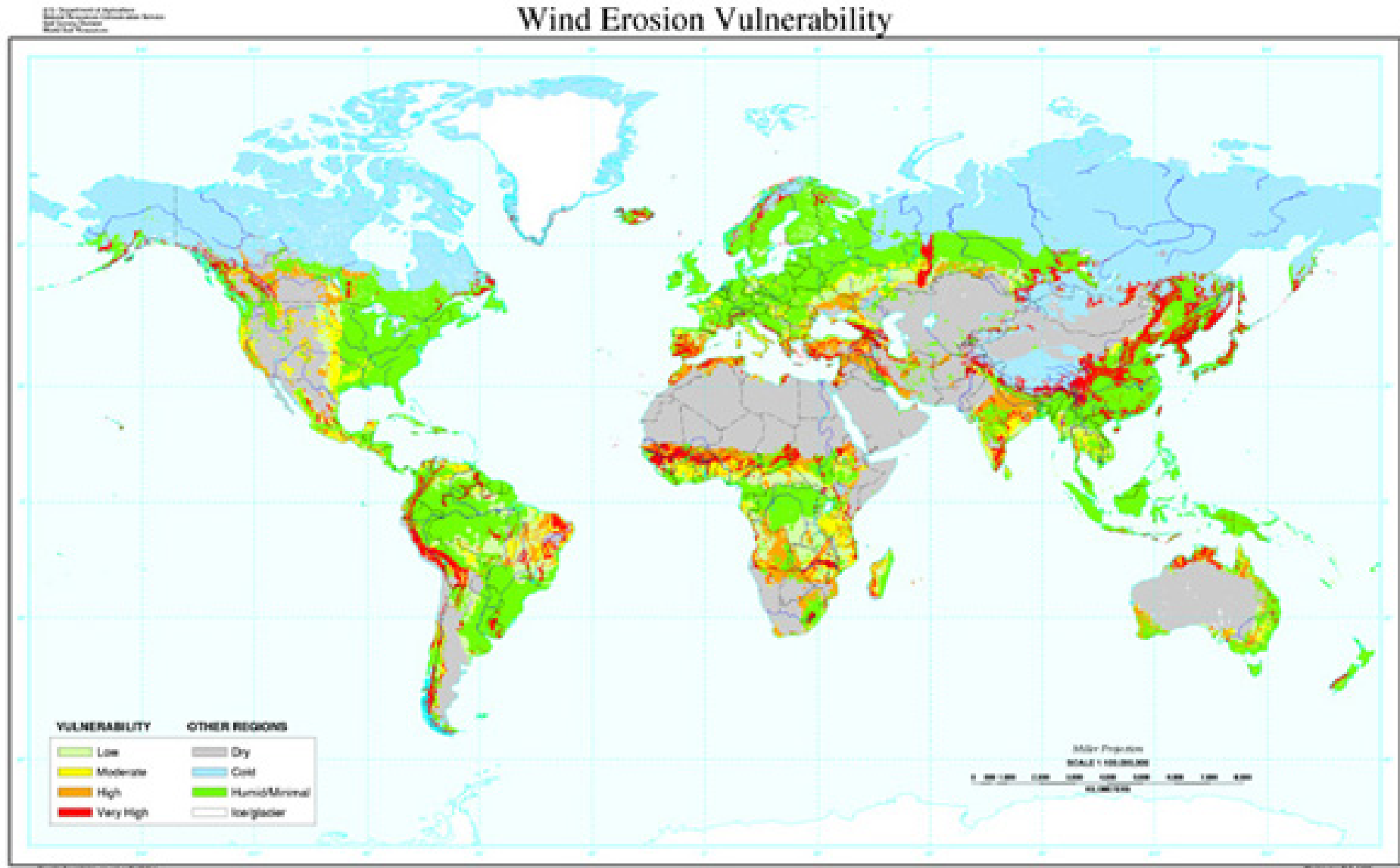


Figure 19.15 Major desert areas of the world (exclusive of polar deserts) in relation to prevailing wind directions and major mountain and plateau areas. Sand dunes make up only a small

proportion of the total desert area. [After K. W. Glennie, *Desert Sedimentary Environments*. New York: Elsevier, 1970.]

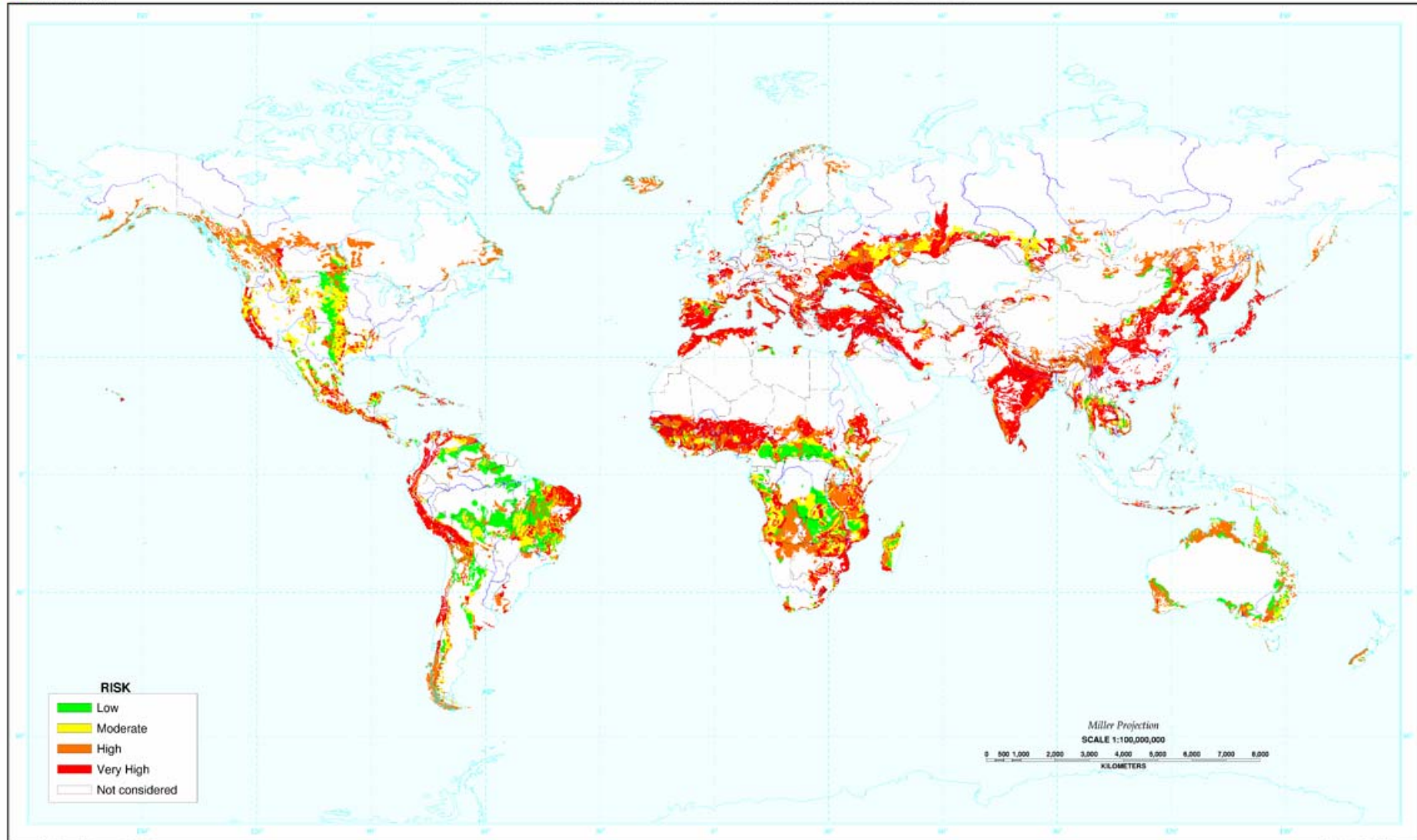
ГЛАВНЕ ПУСТИЊСКЕ ОБЛАСТИ СВЕТА (ОСИМ ПОЛАРНИХ ПУСТИЊА)

ТЕРЕНИ ПОДЛОЖНИ ЕОЛСКОЈ ЕРОЗИЈИ



РИЗИК ОД ЕОЛСКЕ ЕРОЗИЈЕ ПРОУЗРОКОВАНЕ ЉУДСКОМ АКТИВНОШЋУ

Risk of Human Induced Wind Erosion



ОДНОС БРЗИНЕ ВЕТРА И ТРАНСПОРТНЕ МОЋИ

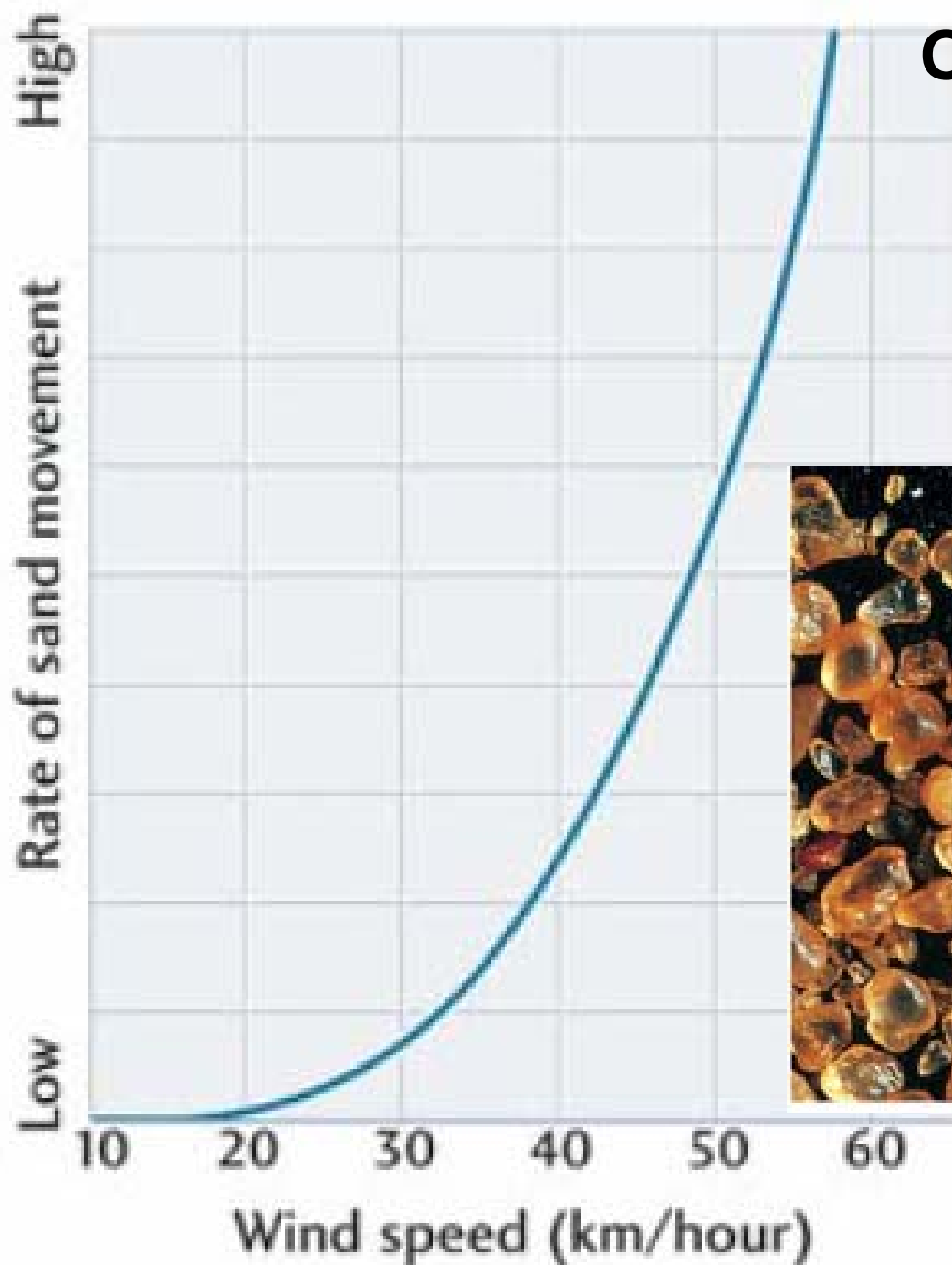
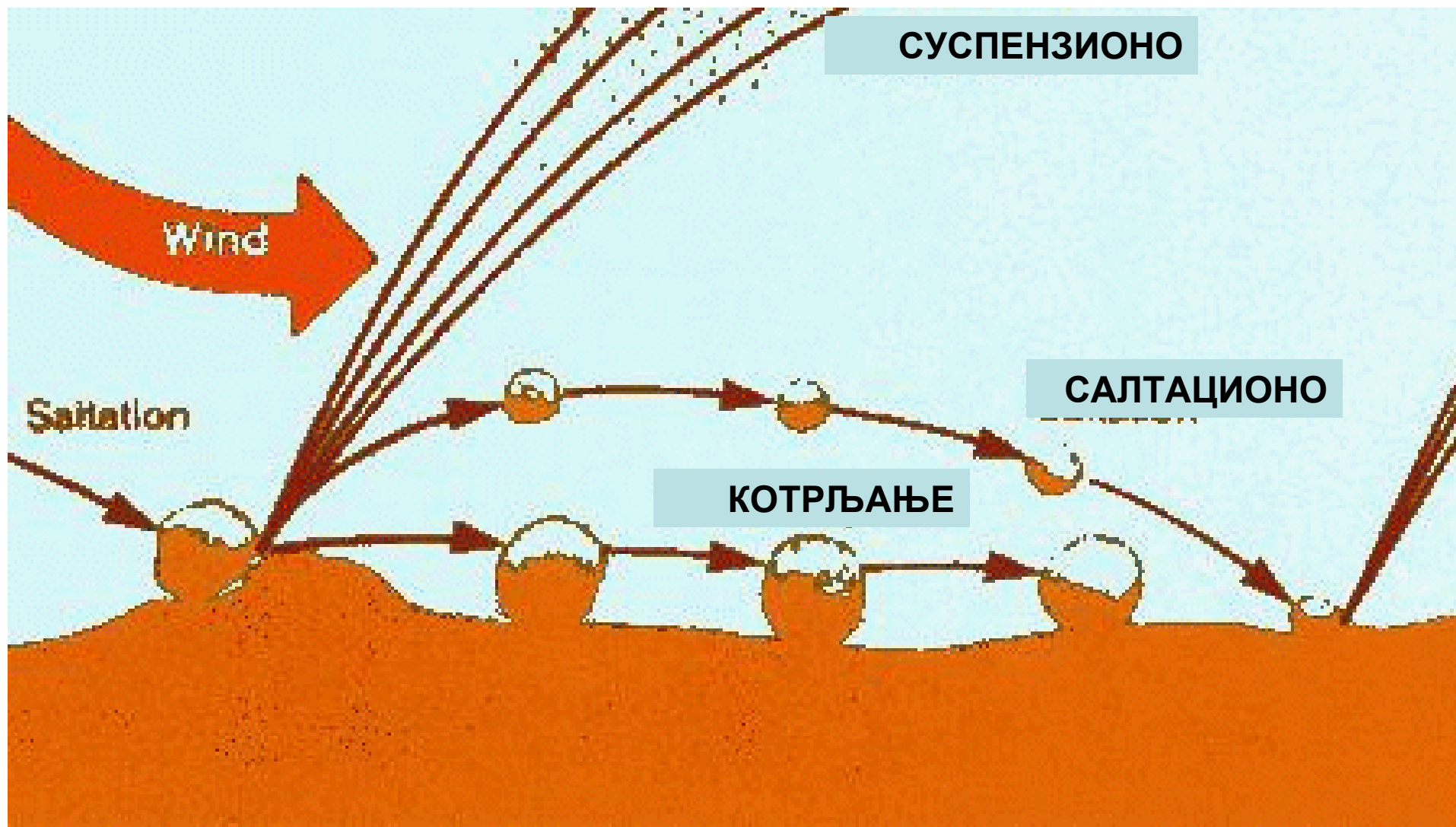


Figure 45.4

КРЕТАЊЕ ЧЕСТИЦА ПОД УТИЦАЈЕМ ВЕТРА



КОРИШЋЕЊЕ ЕНЕРГИЈЕ ВЕТРА



3. ТЕМПЕРАТУРА







Универзитет у Новом Саду
Природно-математички факултет
Департман за географију, туризам и хотелијерство

Др Млађен Јовановић
Катедра за Физичку географију



ЕРОЗИВНА ГЕОМОРФОЛОГИЈА

В. 17. 11. 2014

Увод, силе, агенси, фактори, процеси